

P L A T E S



Fig. 1



Fig. 2



Fig. 3



Fig. 4



Fig. 5

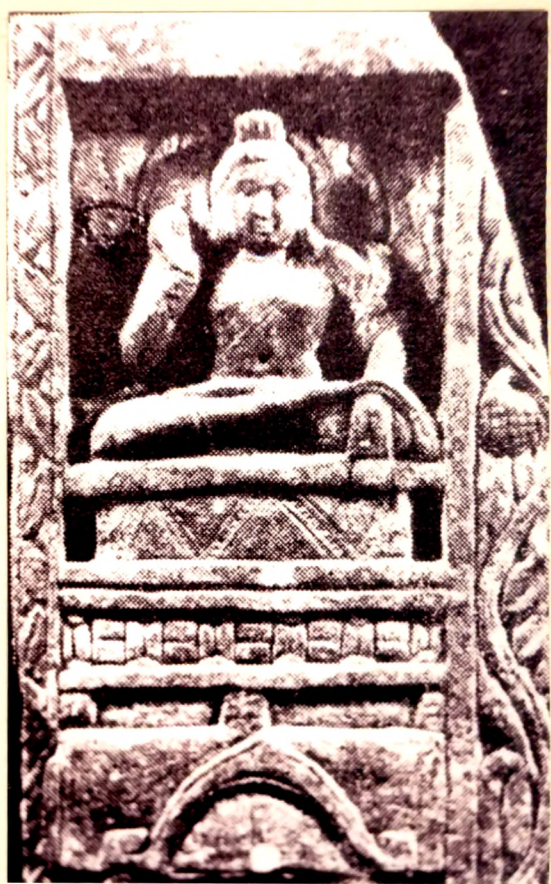


Fig. 6



Fig. 7



Fig. 8



Fig. 9

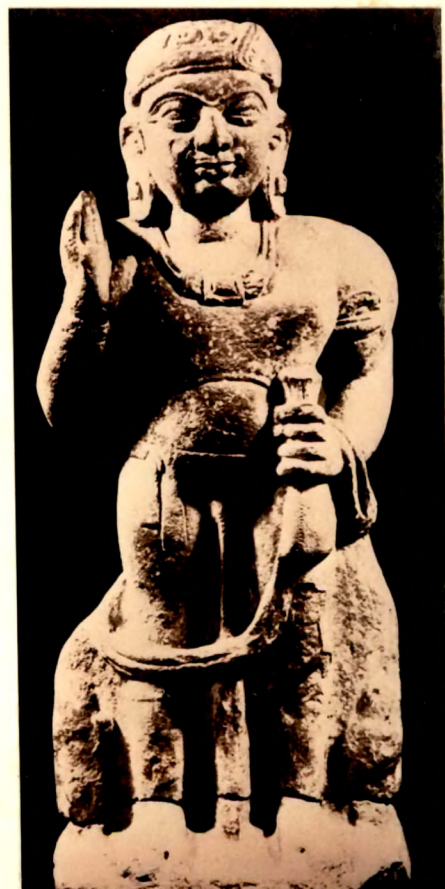


Fig. 10

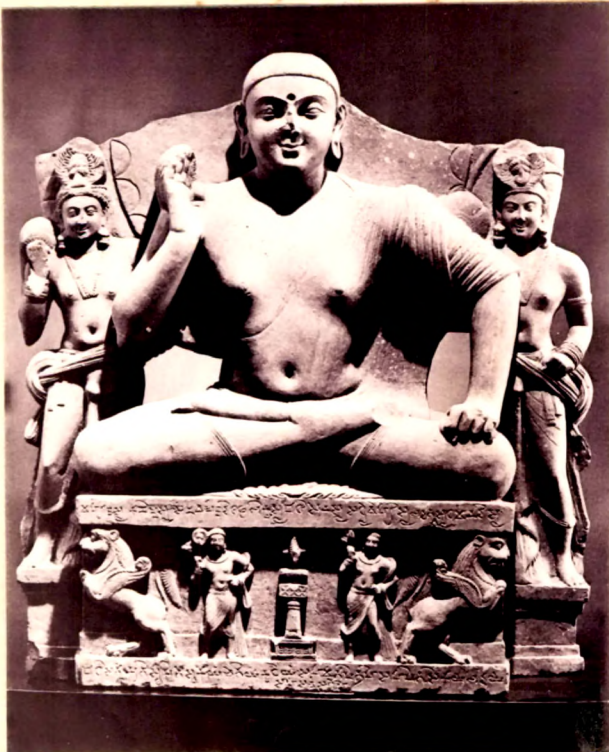


Fig. 11



Fig. 12



Fig. 13



Fig. 14



Fig. 15



Fig. 16



Fig. 17



Fig. 18



Fig. 19



Fig. 20

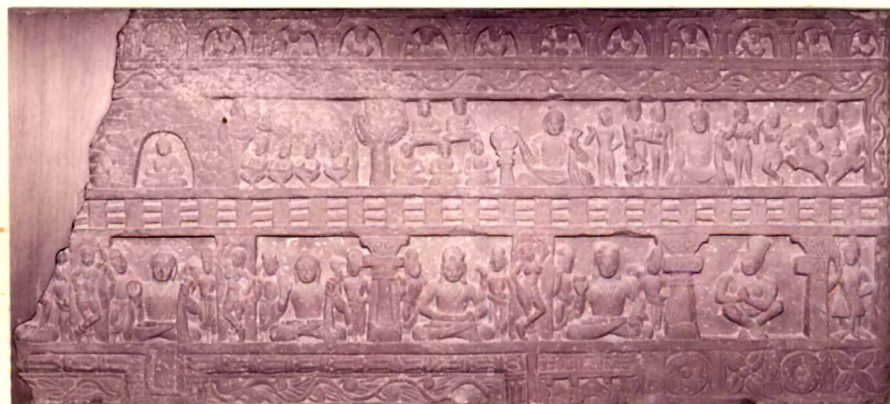


Fig. 21



Fig. 22



Fig. 23



Fig. 24



Fig. 25



Fig. 26



Fig. 27



Fig. 28



Fig. 29

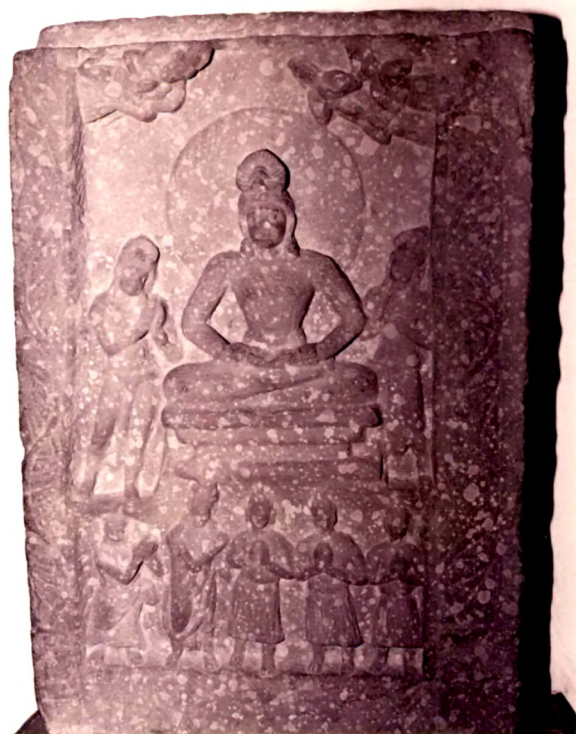


Fig. 30

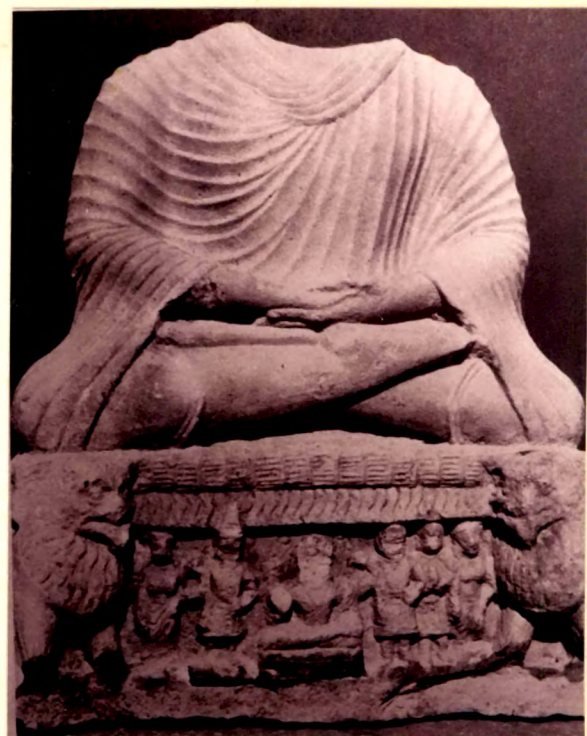


Fig. 31



Fig. 32



Fig. 33



Fig. 34



Fig. 35



Fig. 36



Fig. 37

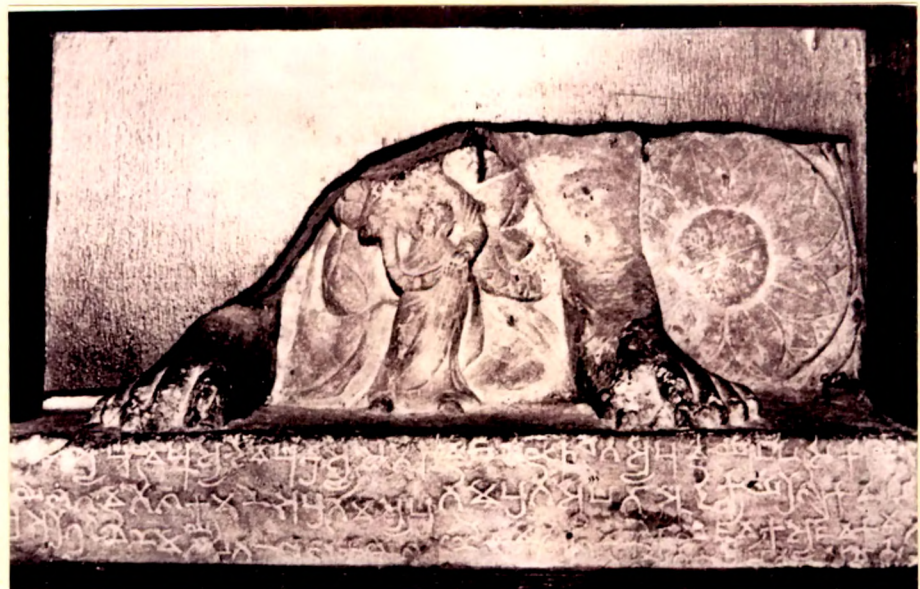


Fig. 38



Fig. 39



Fig. 40



Fig. 41

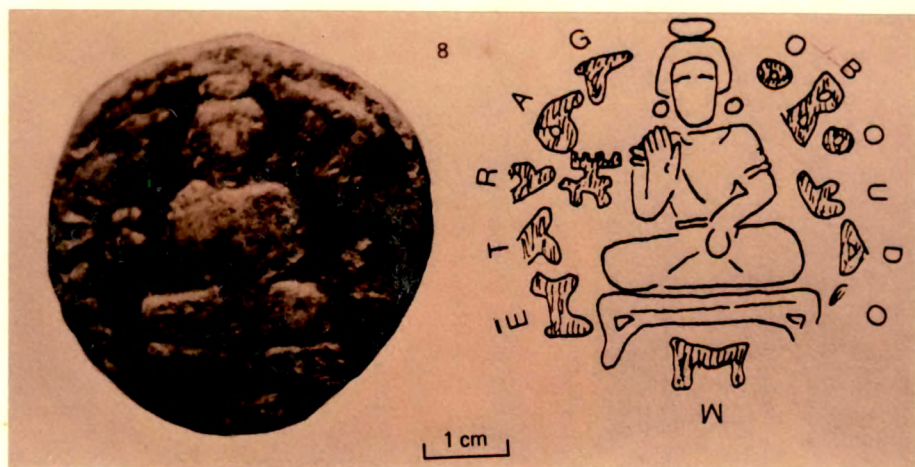


Fig. 42



Fig. 43



Fig. 44



Fig. 45



Fig. 46



Fig. 47



Fig. 48



Fig. 49



Fig. 50



Fig. 51



Fig. 52



Fig. 53



Fig. 54



Fig. 55



Fig. 56



Fig. 57



Fig. 58



Fig. 59



Fig. 60



Fig. 61



Fig. 62



Fig. 63



Fig. 64



Fig. 65



Fig. 66



Fig. 67



Fig. 68



Fig. 69



Fig. 70



Fig. 71



Fig. 72



Fig. 73



Fig. 74

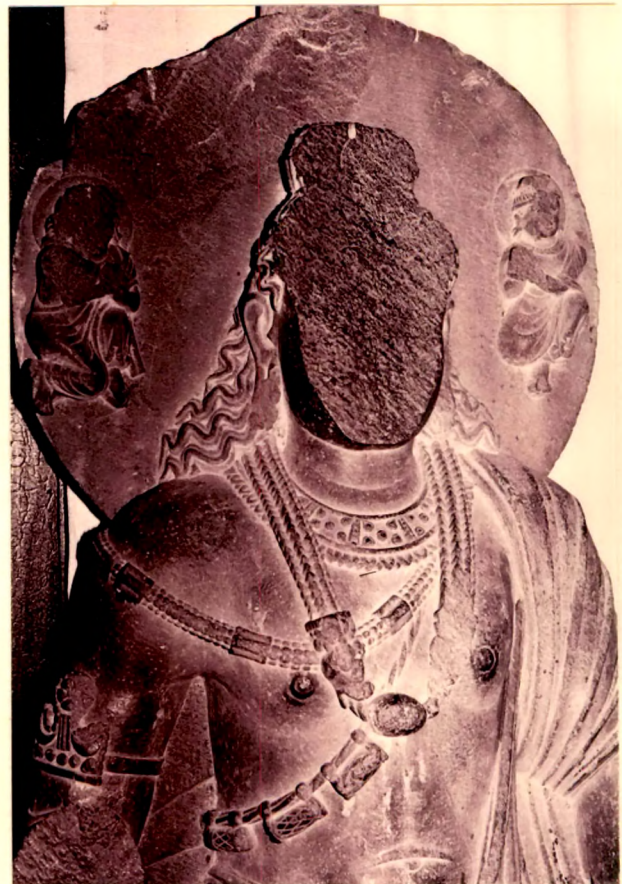


Fig. 75



Fig. 76

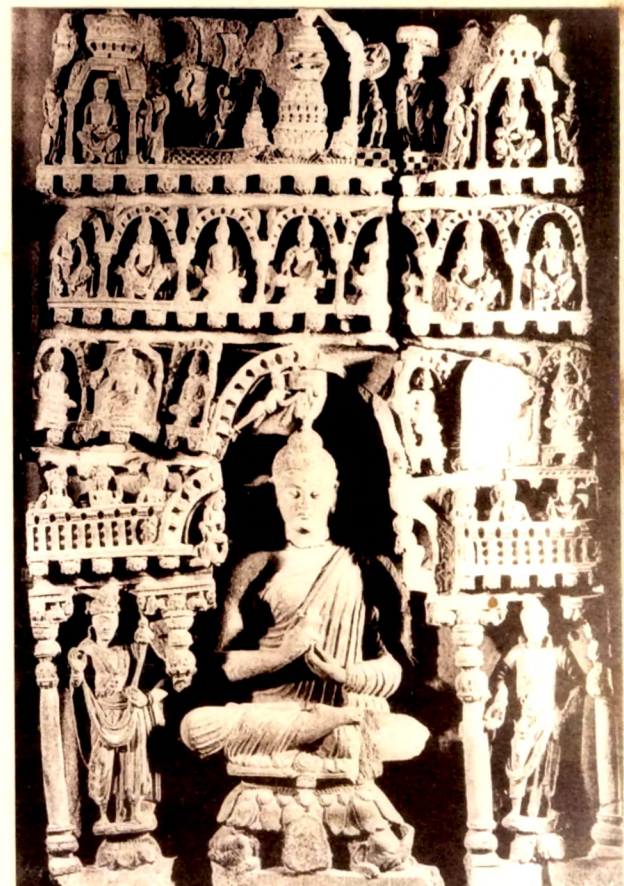


Fig. 77



Fig. 78



Fig. 79



Fig. 80



Fig. 81



Fig. 82



Fig. 83



Fig. 84



Fig. 85



Fig. 86



Fig. 87



Fig. 88



Fig. 89



Fig. 90



Fig. 91



Fig. 92



Fig. 93



Fig. 94



Fig. 95



Fig. 96



Fig. 97



Fig. 98



Fig. 99



Fig. 100



Fig. 101



Fig. 102



Fig. 103



Fig. 104



Fig. 105



Fig. 106



Fig. 107



Fig. 108



Fig. 109



Fig. 110



Fig. 111



Fig. 112

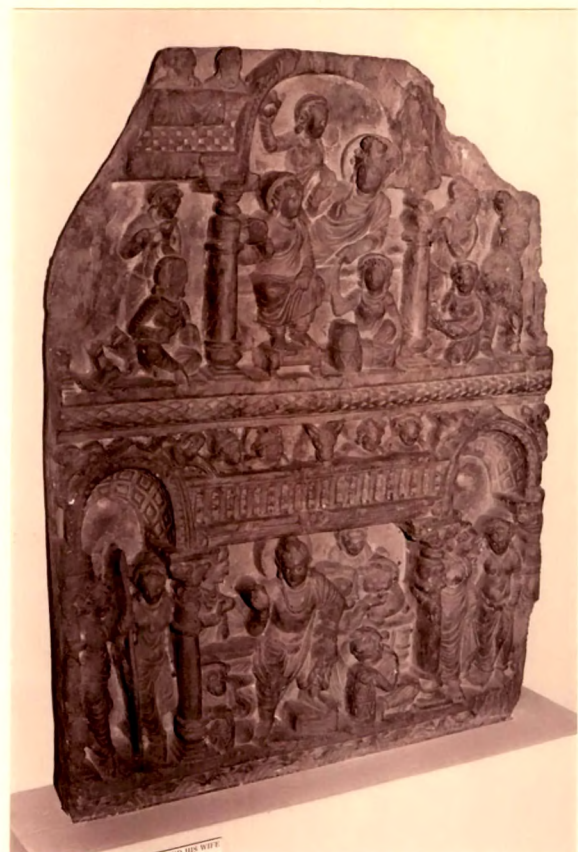


Fig. 113



Fig. 114



Fig. 115



Fig. 116



Fig. 117



Fig. 118



Fig. 119

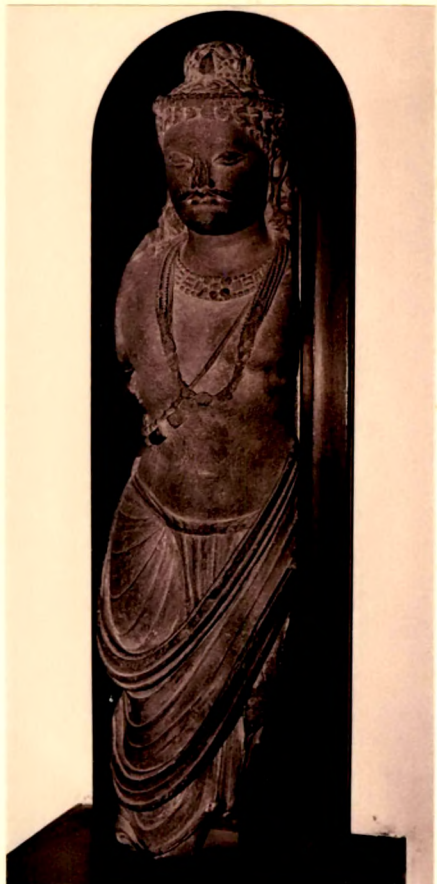


Fig. 120



Fig. 121



Fig. 122



Fig. 123



Fig. 124



Fig. 125

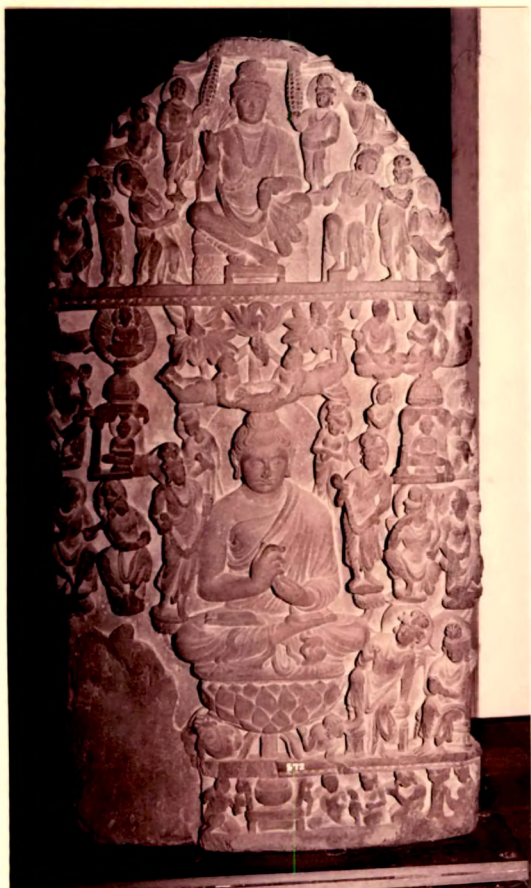


Fig. 126



Fig. 127



Fig. 128



Fig. 129



Fig. 130



Fig. 131

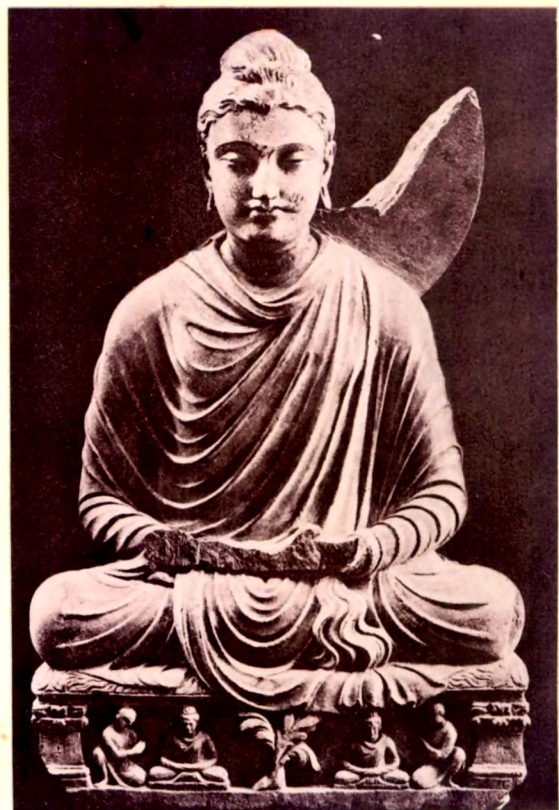


Fig. 132



Fig. 133



Fig. 134



Fig. 135



Fig. 136



Fig. 137



Fig. 138



Fig. 139

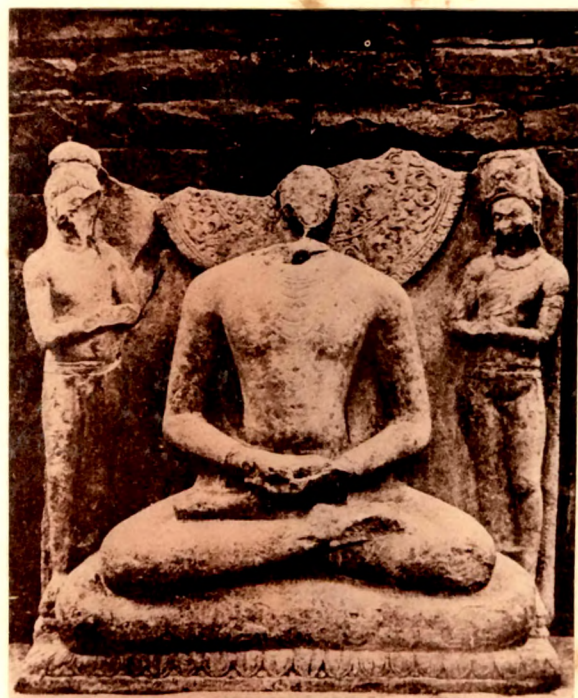


Fig. 140



Fig. 141



Fig. 142



Fig. 143



Fig. 144



Fig. 145

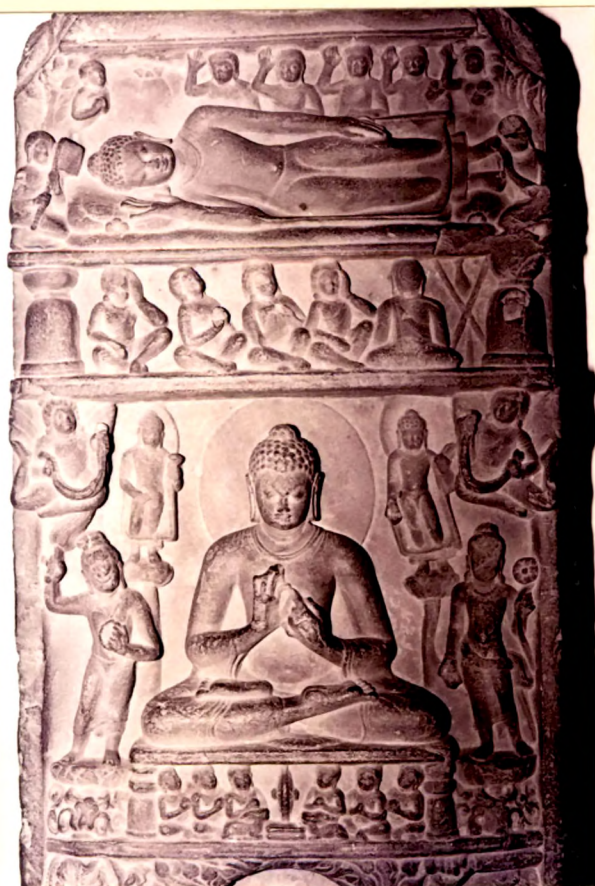


Fig. 146



Fig. 147



Fig. 148



Fig. 149



Fig. 150

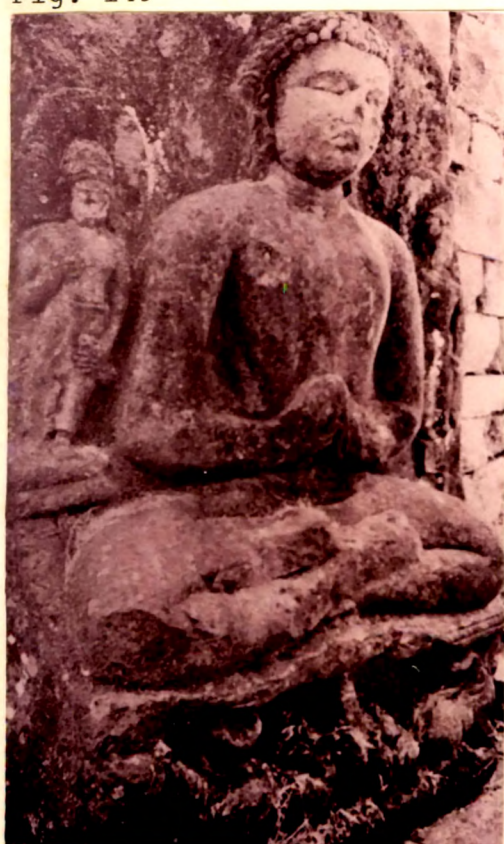


Fig. 151



Fig. 152



Fig. 153



Fig. 154

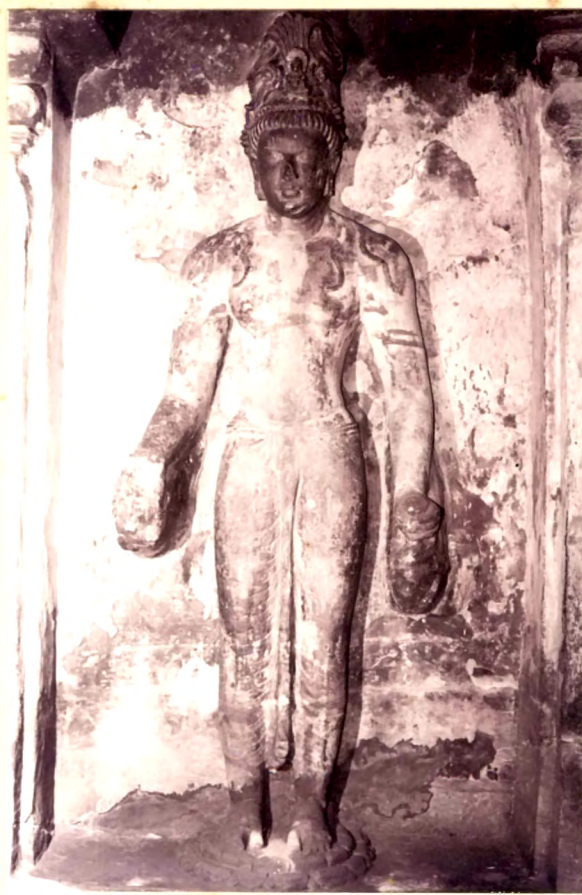


Fig. 155



Fig. 156



Fig. 157



Fig. 158



Fig. 159



Fig. 160



Fig. 161



Fig. 162



Fig. 163



Fig. 164



Fig. 165



Fig. 166



Fig. 167



Fig. 168



Fig. 169



Fig. 170



Fig. 171



Fig. 172



Fig. 173



Fig. 174



Fig. 175



Fig. 176



Fig. 177

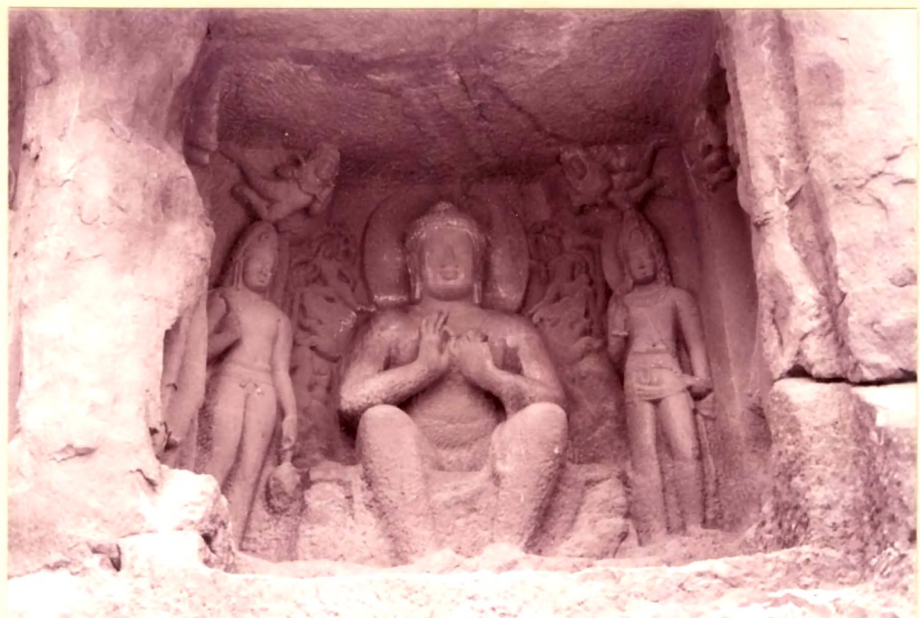


Fig. 178



Fig. 179



Fig. 180



Fig. 181



Fig. 182



Fig. 183



Fig. 184

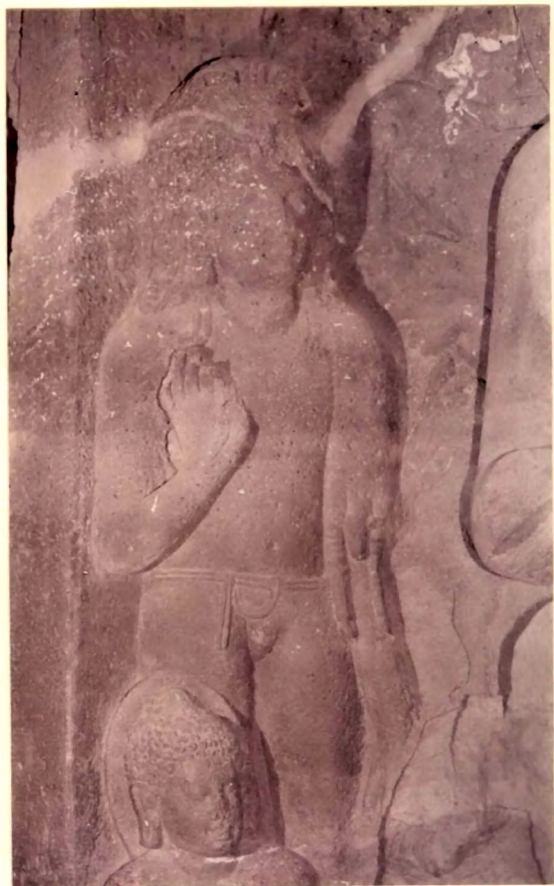


Fig. 185



Fig. 186



Fig. 187



Fig. 188



Fig. 189



Fig. 190



Fig. 191



Fig. 192

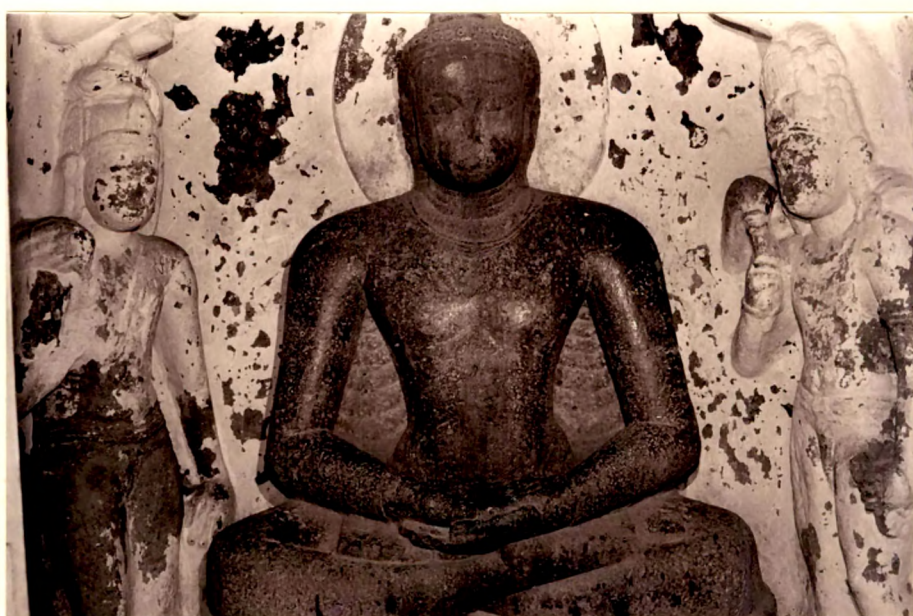
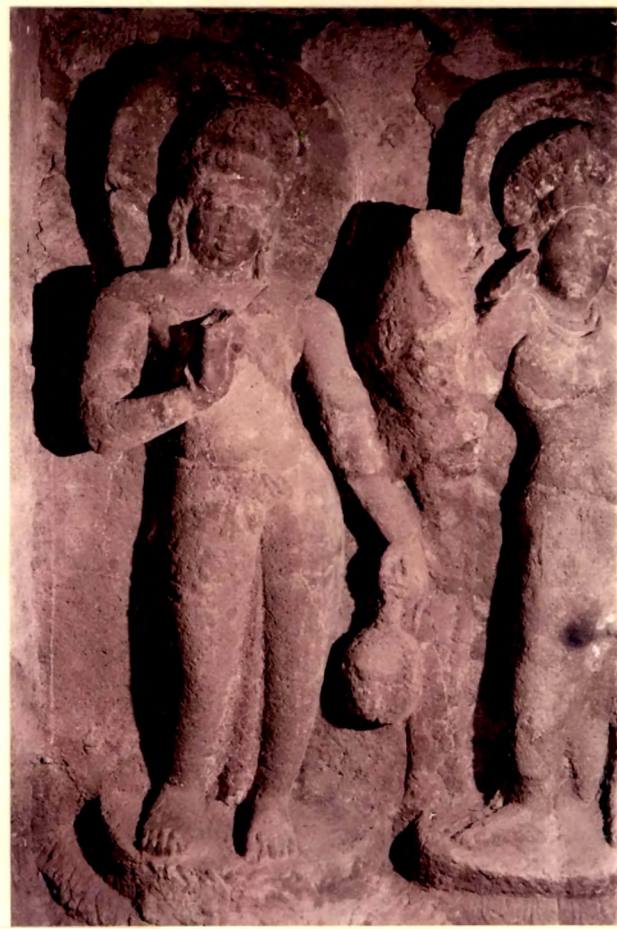


Fig. 193



194 Fig. 194



Fig. 195

195



Fig. 196



Fig. 197



Fig. 198



Fig. 199



Fig. 200



Fig. 201



Fig. 202



Fig. 203



Fig. 204



Fig. 205

204

205



Fig. 206



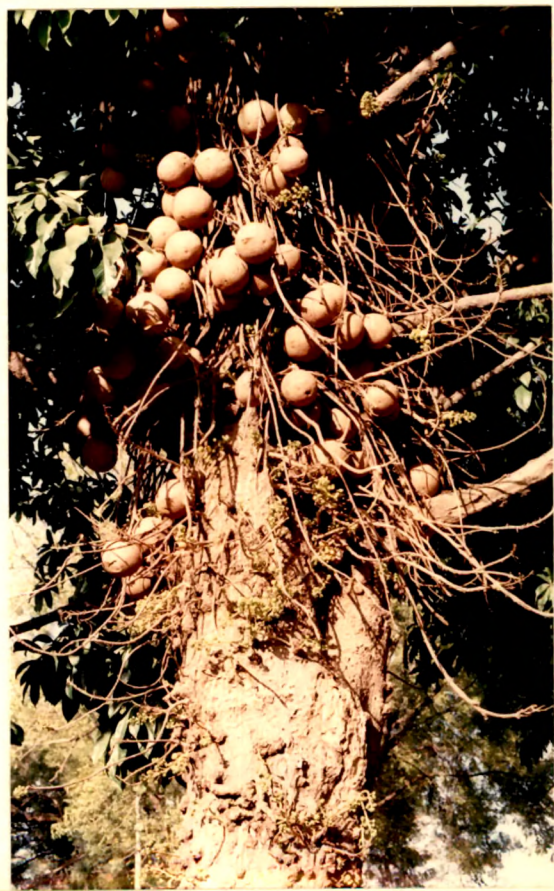
Fig. 207



Fig. 208



Fig. 211



212
Fig. 212



Fig. 213



Fig. 214



Fig. 215



Fig. 216



Fig. 217



Fig. 218



Fig. 219

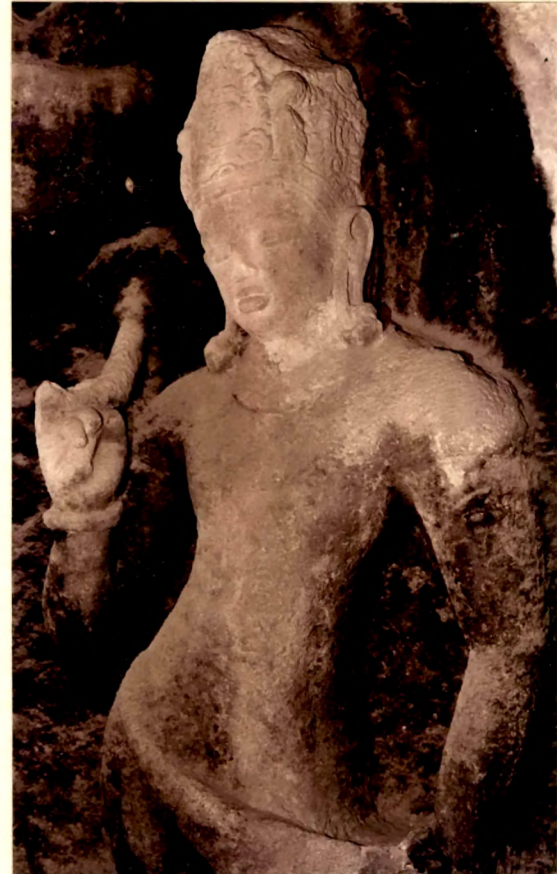


Fig. 220



Fig. 221



Fig. 222



Fig. 223



Fig. 224



Fig. 225



Fig. 226



Fig. 227



Fig. 228



Fig. 229



Fig. 230



Fig. 231



Detail of Fig. 231



Fig. 232

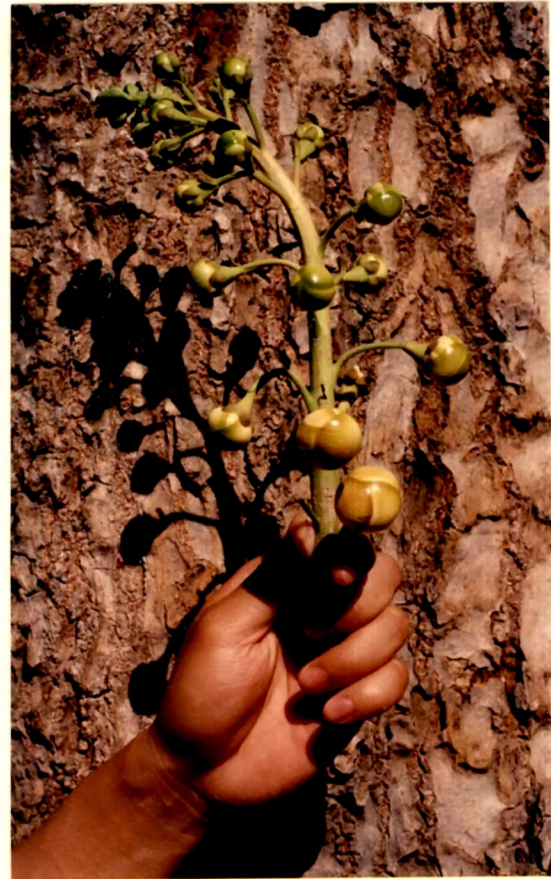


Fig. 233



Fig. 234

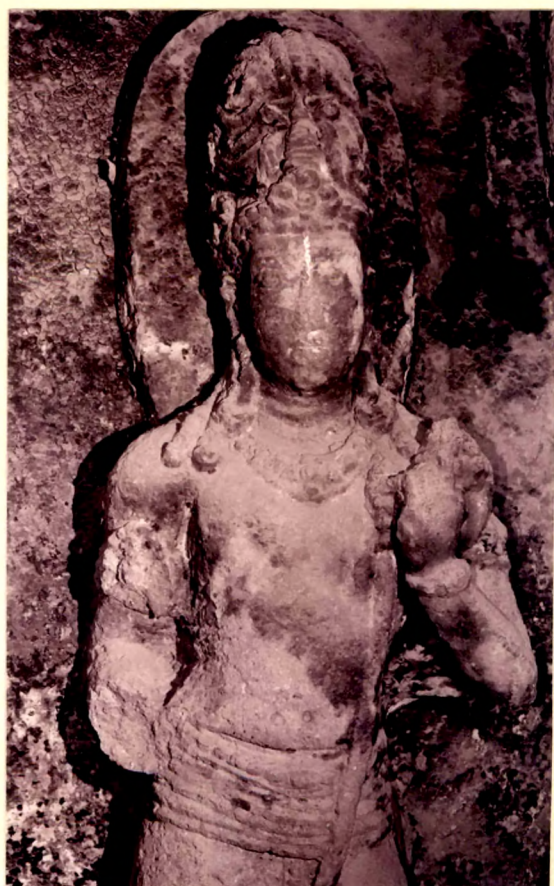


Fig. 235



Fig. 236



Fig. 237

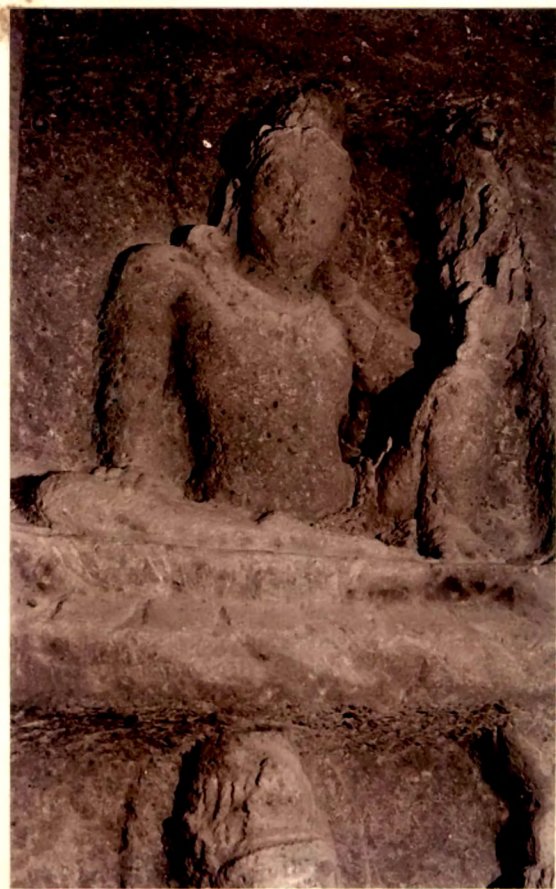


Fig. 238



Fig. 239



Fig. 240



Fig. 241



Fig. 242



Fig. 243



Fig. 244



Fig. 245



Fig. 246



Fig. 247



Fig. 248



Fig. 249



Fig. 250



Fig. 251

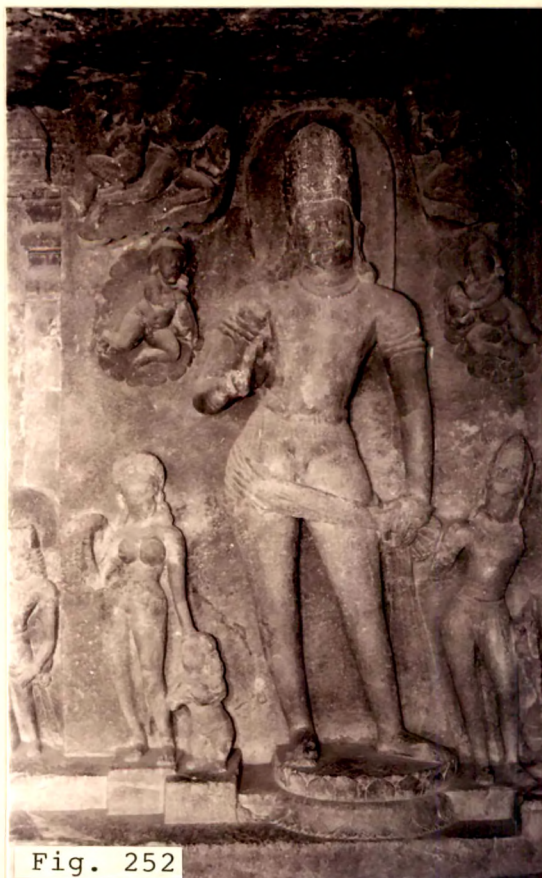


Fig. 252



Fig. 253

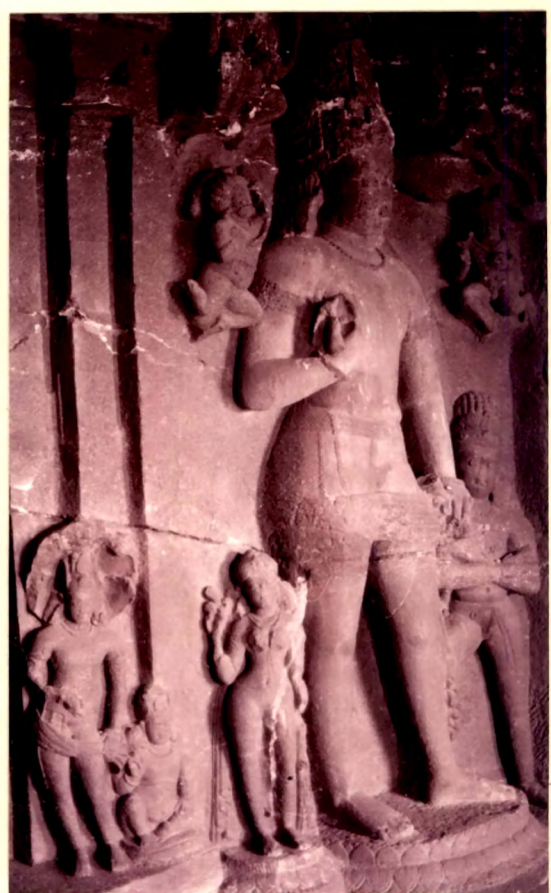


Fig. 254

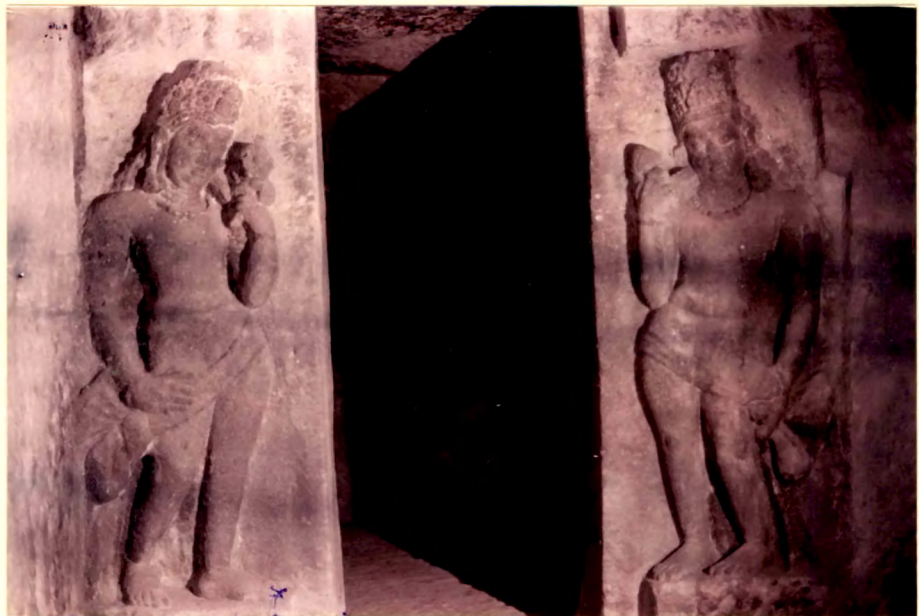


Fig. 255



Fig. 256



Fig. 257



Fig. 258



Fig. 259



Fig. 260



Fig. 261



Fig. 262



Fig. 263



Fig. 264



Fig. 265



Fig. 266

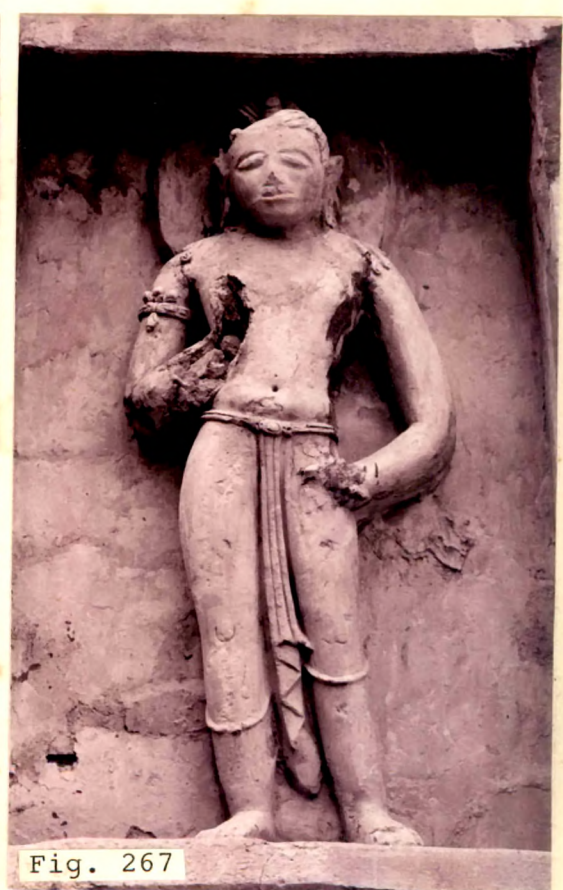


Fig. 267



Fig. 268



Fig. 269



Fig. 270



Fig. 271



Fig. 272

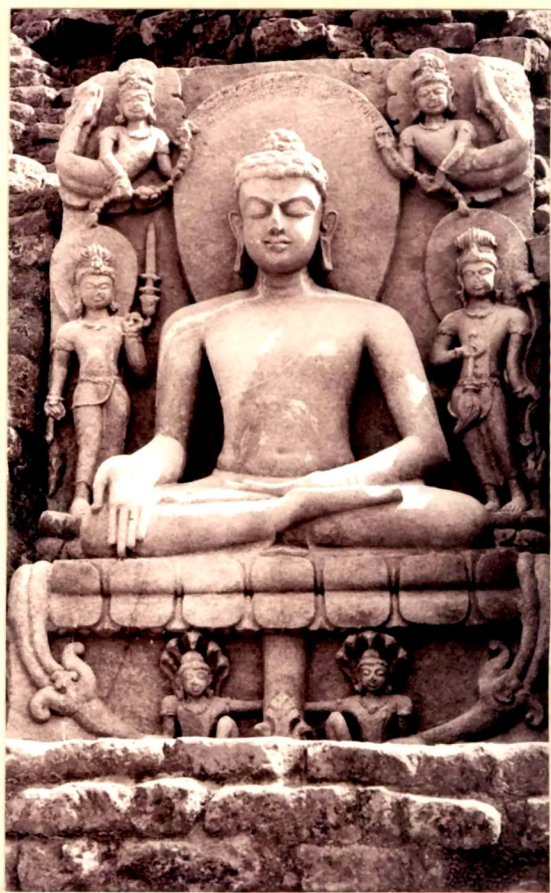


Fig. 273



Fig. 274

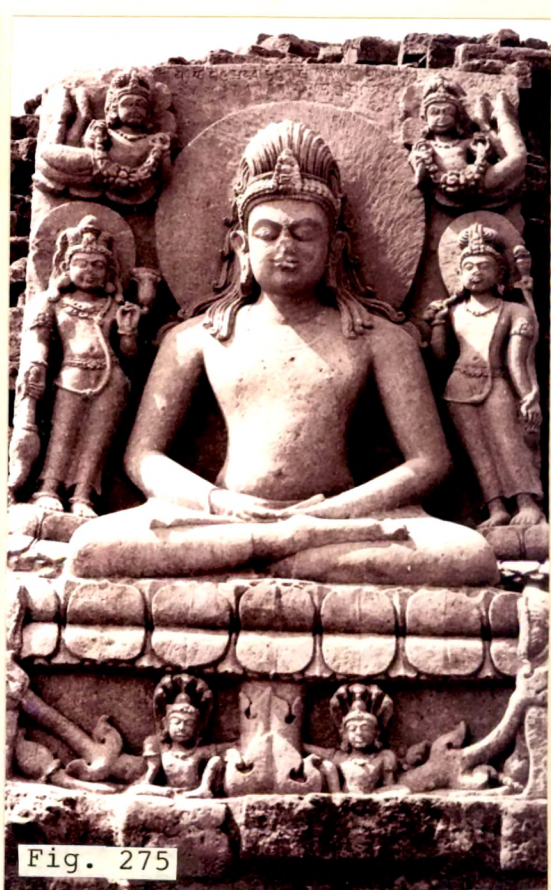


Fig. 275

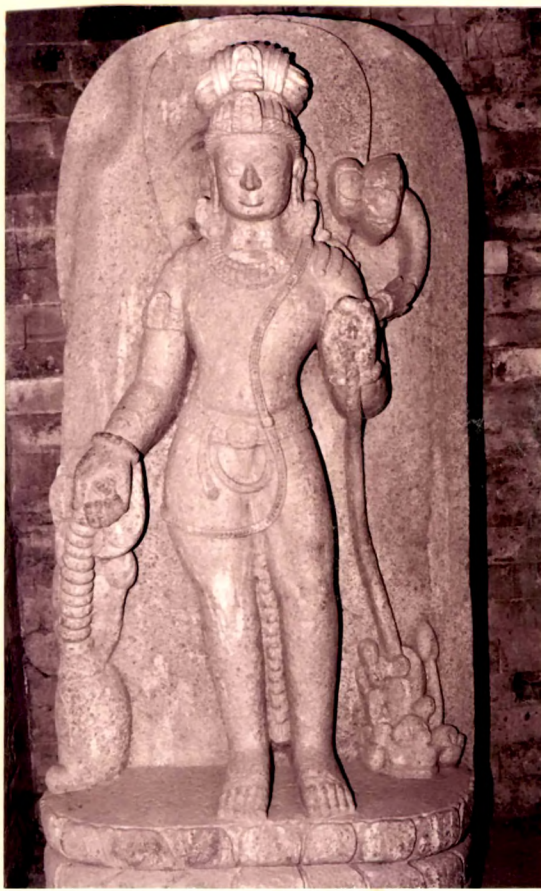


Fig. 276



Fig. 277

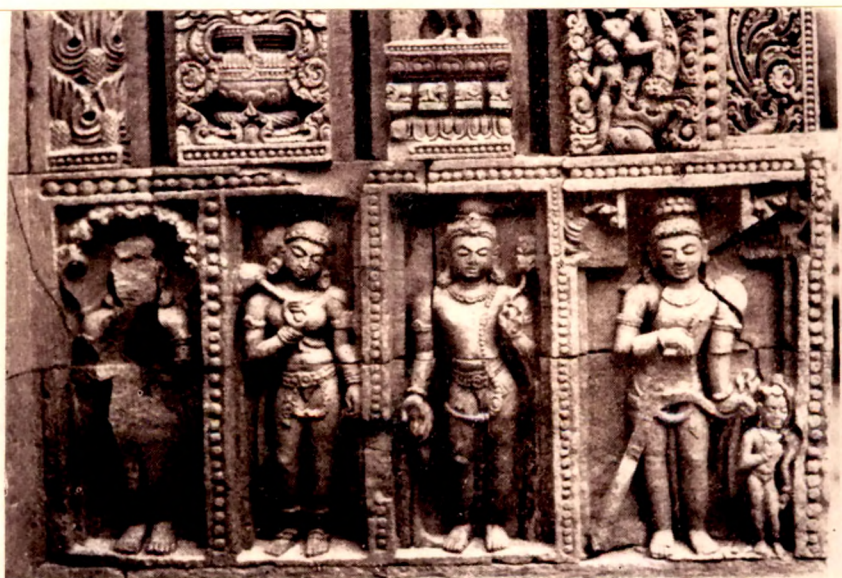


Fig. 278



Fig. 279

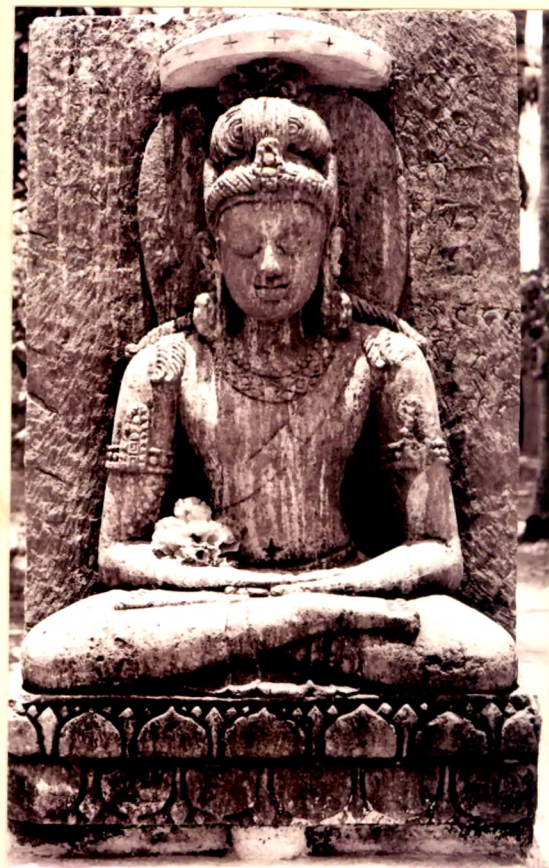


Fig. 280



Fig. 281



Fig. 282



Fig. 283



Fig. 284



Fig. 285



Fig. 286



Fig. 287



Fig. 288



Fig. 289



Fig. 290



Fig. 291



Fig. 292



Fig. 293

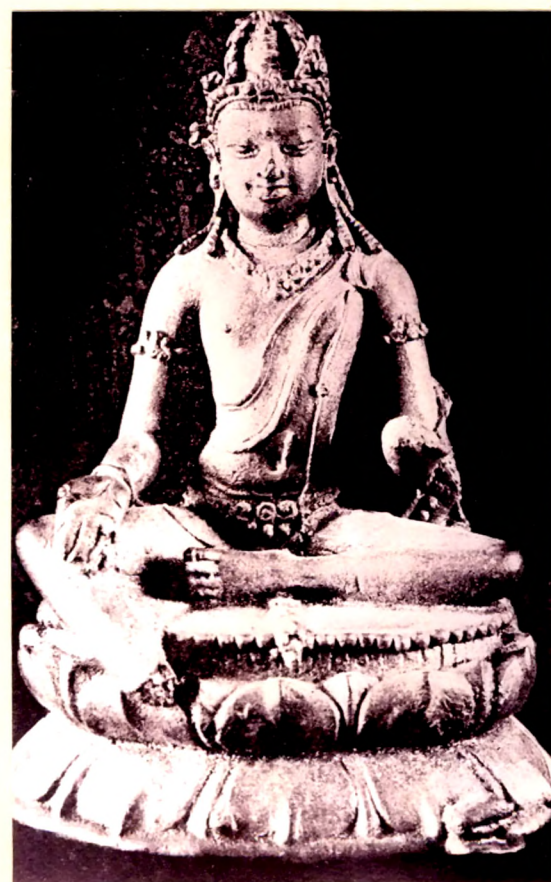


Fig. 294



Fig. 297



Fig. 298



Fig. 299



Fig. 300



Fig. 301



Fig. 302



Fig. 303



Fig. 304



Fig. 305



Fig. 306



Fig. 307



Fig. 308

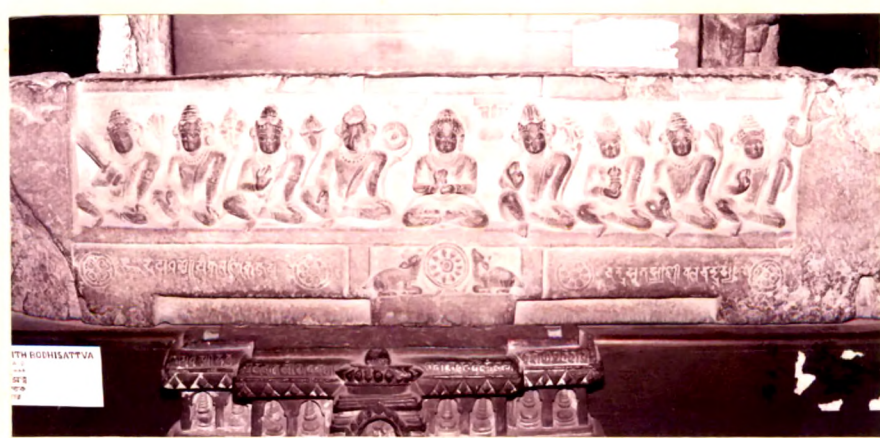


Fig. 309



Fig. 310



Fig. 311



Fig. 312



Fig. 313



Fig. 314



Fig. 315



Fig. 316



Fig. 317



Fig. 318



Fig. 319



Fig. 320



Fig. 321



Fig. 322



Fig. 323



Fig. 324



Fig. 325



Fig. 326

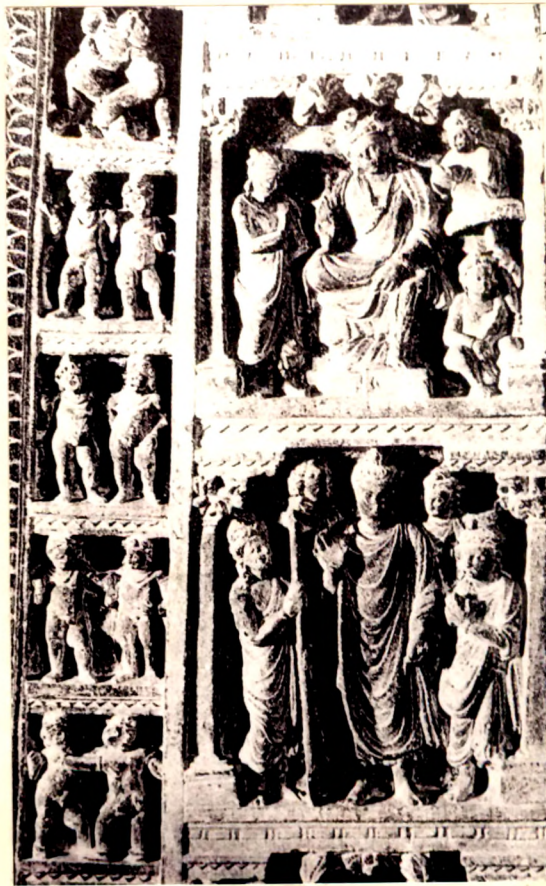


Fig. 327



Fig. 328



Fig. 329



Fig. 330



Fig. 331



Fig. 332



Fig. 333



Fig. 334



Fig. 335

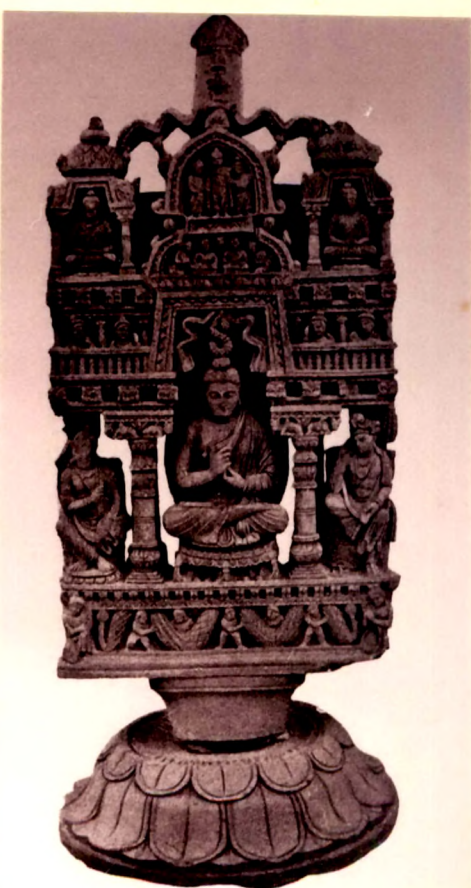


Fig. 336



Fig. 337



Fig. 338



Fig. 339



Fig. 340



Fig. 341



Fig. 342



Fig. 343



Fig. 344



Fig. 345



Fig. 346



Fig. 347



Fig. 348



Fig. 349



Fig. 350



Fig. 351



Fig. 352

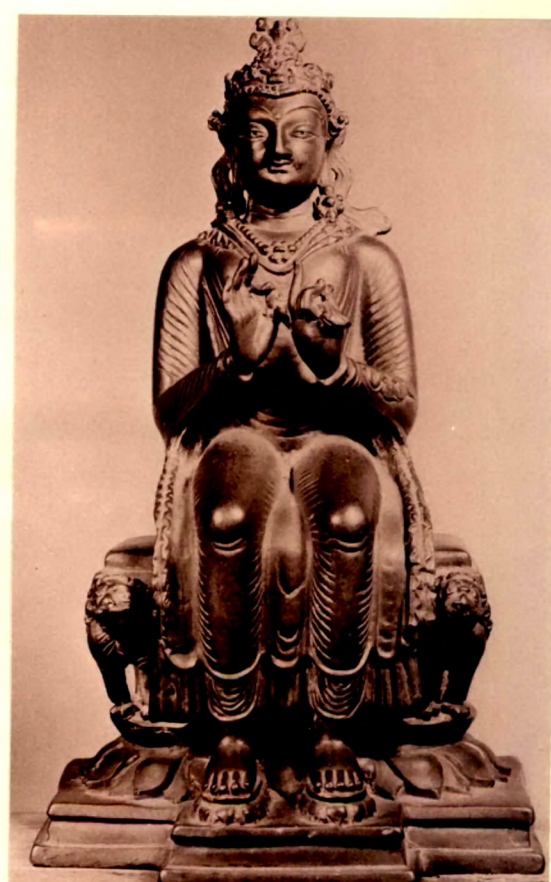


Fig. 353



Fig. 354



Fig. 356



Fig. 355



Fig. 357